

3. Дэвис Т. В. Теория симметричных гравитационных волн конечной амплитуды. Г.— В кн.: Теория поверхностных волн. М., ИЛ, 1959.
4. Некрасов А. Н. Точная теория волны установившегося вида на поверхности тяжелой жидкости. Собр. соч. Т. 1. М., Изд-во АН СССР, 1962.
5. Лаврентьев М. А., Шабат Б. В. Методы теории функций комплексного переменного. Изд. 4-е. М., «Наука», 1973.
6. Голузин Г. М. Геометрическая теория функций комплексного переменного. Изд. 2-е. М., «Наука», 1966.
7. Гахов Ф. Д. Краевые задачи. Изд. 2-е. М., Физматгиз, 1963.
8. Кочин Н. Е., Кибель И. А., Розе Н. В. Теоретическая гидромеханика. Ч. 1. Изд. 6-е. М., Физматгиз, 1963.
9. Иванов В. В. О применении метода моментов и смешанного метода к приближенному решению сингулярных интегральных уравнений.— «Докл. АН СССР», 1957, т. 114, № 5.

УДК 532.516

### ВЕТВЛЕНИЕ РЕШЕНИЙ В ЗАДАЧЕ О ВОЛНОВОМ ТЕЧЕНИИ ВЯЗКОЙ ЖИДКОСТИ СО СВОБОДНОЙ ГРАНИЦЕЙ

А. Л. Уринцев  
(Ростов-на-Дону)

Волновое течение тонких слоев вязкой жидкости рассматривалось в работах [1, 2]. Существование нелинейных стационарных волн на поверхности вязкой жидкости, стекающей вдоль вертикальной стенки, впервые было строго доказано в работе [3]. Рассмотрению различных режимов течения в падающих пленках посвящена одна из глав монографии [4].

Линейная задача устойчивости плоскопараллельного течения со свободной границей изучалась на основе уравнений Навье — Стокса в [5—9]. Нелинейная задача в рамках уравнения П. Л. Капицы [1] исследовалась в [10—14]; уравнение Кортевега — де-Фриза и близкие к нему для описания движения тонкой пленки жидкости использовались в работах [15, 16]. Нелинейные режимы течения в жидкой пленке и нелинейная устойчивость на основе полной системы уравнений Навье — Стокса в приближении длинных волн изучались в [17—20]. В двух последних работах была вычислена константа Ландау при помощи модифицированного метода Рейнольдса и Поттера [21] и сделан вывод об отсутствии длинноволновых подкритических движений.

**1. Волновые режимы вблизи порога устойчивости.** Рассмотрим слой вязкой несжимаемой жидкости плотности  $\rho$  и вязкости  $\nu$ , стекающей под действием силы тяжести  $g = 981 \text{ см/с}^2$  по плоской поверхности, наклоненной к горизонту под углом  $\chi$ . На свободной поверхности жидкости пусть действует поверхностное натяжение с коэффициентом  $T$ . Будем также считать заданным массовый расход жидкости  $\Gamma$ , определяемый как осредненное по времени значение массы жидкости, протекающей через поперечное сечение и приходящееся на единицу ширины слоя. В качестве масштабов длины, времени и массы выберем соответственно величины  $(\nu^2/g)^{1/3}$ ,  $(\nu/g^2)^{1/3}$ ,  $\rho\nu^2/g$  и введем безразмерные параметры

$$\text{Re} = \Gamma/\nu\rho, \quad \gamma = (T/\nu\rho)(\nu g)^{-1/3},$$

первый из которых есть число Рейнольдса, основанное на расходе, а второй характеризует физические свойства жидкости. В такой постановке зависящая от числа Рейнольдса средняя толщина слоя считается неиз-

вестной и подлежит определению. Введем декартову прямоугольную систему координат  $O'x'y$ , поместив ее начало на дне канала и направив ось  $x'$  вниз по потоку, а ось  $y$  — к свободной границе. Будем интересоваться периодическими по времени решениями уравнений гидродинамики, имеющими вид стационарных волн, бегущих вдоль оси  $x'$  с некоторой неизвестной фазовой скоростью  $c$ , т. е. решениями, периодически зависящими от времени  $t$  и координаты  $x'$  ( $x = x' - ct$ ). В этом случае уравнения Навье—Стокса удобно записать в форме уравнений движения сплошной среды в напряжениях

$$\begin{aligned} \dot{D}u &= \tau - v_x, \quad Dv = -u_x, \\ (1.1) \quad D\sigma &= \cos \chi - \tau_x - cv_x + uv_x - vu_x, \\ D\tau &= -\sin \chi - \sigma_x - 4u_{xx} - cu_x + uu_x - vv_x + v\tau, \end{aligned}$$

где  $D = \partial/\partial y$ ; индекс  $x$  означает частную производную по аргументу  $x$ ;  $u$  и  $v$  — продольная и поперечная составляющие вектора скорости;  $\sigma$  и  $\tau$  — соответственно нормальное ( $\sigma = -p + 2Dv$ ,  $p$  — давление) и касательное ( $\tau = Du + v_x$ ) напряжения в жидкой пленке. Первое уравнение системы (1.1) есть фактически определение величины  $\tau$ , второе — уравнение неразрывности; третье и четвертое уравнения выражают закон сохранения импульса в проекциях на оси  $y$  и  $x'$  соответственно. Решение системы (1.1) должно быть  $2\pi/k$ -периодично ( $k$  — заданное волновое число) по координате  $x$ . На границах слоя жидкости  $y = 0$  (твердая стенка) и  $y = \zeta(x)$  (свободная поверхность) выполняются условия

$$\begin{aligned} (1.2) \quad u &= v = 0 \quad (y = 0); \\ (1.3) \quad v - (u - c)\zeta_x &= 0 \quad (y = \zeta); \\ (1.4) \quad \sigma &= -p_a + \gamma\zeta_{xx}(1 + \zeta_x^2)^{-3/2} + \tau\zeta_x \quad (y = \zeta); \\ (1.5) \quad \tau &= 4u_x\zeta_x(1 - \zeta_x^2)^{-1} \quad (y = \zeta), \end{aligned}$$

где  $p_a = \text{const}$  есть безразмерное значение атмосферного давления. Для волновых решений среднее по времени совпадает со средним по переменной  $x$ , поэтому условие для расхода принимает в безразмерных переменных вид

$$(1.6) \quad \text{Re} = \frac{k}{2\pi} \int_0^{2\pi/k} \int_0^{\zeta(x)} u(x, y) dy dx.$$

Система (1.1)–(1.6) допускает известное точное решение  $u = u'$ ,  $v = v'$ ,  $\sigma = \sigma'$ ,  $\tau = \tau'$ ,  $\zeta = \zeta'$ , описываемое формулами

$$(1.7) \quad \begin{aligned} u' &= \sin \chi(\mu y - 0,5y^2), \quad v' = 0, \quad \sigma' = -p_a + \cos \chi(y - \mu), \\ \tau' &= \sin \chi(\mu - y), \quad \zeta' = \mu, \quad \mu = (3\text{Re}/\sin \chi)^{1/3} \end{aligned}$$

и соответствующее, как можно видеть, плоскопараллельному течению в слое толщины  $\mu$  с плоской свободной границей. Задача состоит в нахождении волнового течения жидкости, отличного от (1.7).

Следуя методу расчета автоколебаний сплошных сред, предложенному в [22–24], и ограничиваясь волновыми режимами малой амплитуды, отвлекаясь от плоскопараллельного течения (1.7), будем разыскивать решение поставленной задачи в виде

$$\{u, v, \sigma, \tau, \zeta, c\} = \{u', v', \sigma', \tau', \zeta', c_0\} + \sum_{m=1}^{\infty} \varepsilon^m \{u_m, v_m, \sigma_m, \tau_m, \zeta_m, c_m\},$$

$$(1.8) \quad \mu = [3(\text{Re}_0 + \delta\varepsilon^2)/\sin \chi]^{1/3} = \sum_{m=0}^{\infty} \mu_{2m} (\delta\varepsilon^2)^m,$$

$$\text{Re} = \text{Re}_0 + \delta\varepsilon^2, \quad \mu_0 = (3\text{Re}_0/\sin \chi)^{1/3}, \quad \mu_2 = (9\text{Re}_0^2 \sin \chi)^{-1/3},$$

где  $\varepsilon > 0$  — малый параметр;  $\text{Re}_0, c_0$  и  $\mu_0$  — критические значения числа Рейнольдса, фазовой скорости и толщины слоя, определяемые по линейной теории; величина  $\delta$ , равная  $+1$  или  $-1$ , ответственна за знак приращения числа Рейнольдса. Значение последней заранее неизвестно и определяется в процессе решения задачи.

Снесем граничные условия при  $y = \zeta(x)$  на невозмущенную границу  $y = \mu_0$ , разложив все функции координаты  $y$ , входящие в (1.3) — (1.5), в ряды Тейлора в окрестности точки  $y = \mu_0$ . Затем подставим разложения (1.8) в уравнения (1.1) — (1.6) и соберем члены с одинаковыми степенями параметра  $\varepsilon$ . В результате приходим к серии рекуррентных линейных задач ( $m = 1, 2, 3, \dots$ )

$$Du_m = \tau_m - v_{mx}, \quad Dv_m = -u_{mx}, \quad D\sigma_m = (U - c_0)v_{mx} - \tau_{mx} + F_m,$$

$$D\tau_m = (U - c_0)u_{mx} + DUv_m - 4u_{mxx} - \sigma_{mx} + G_m,$$

$$(1.9) \quad U = \sin \chi(\mu_0 y - y^2/2), \quad u_m = v_m = 0 \quad (y = 0),$$

$$v_m - V\zeta_{mx} = K_m \quad (y = \mu_0), \quad V = \frac{1}{2} \mu_0^2 \sin \chi - c_0,$$

$$\sigma_m + \zeta_m \cos \chi - \gamma\zeta_{mxx} = L_m \quad (y = \mu_0), \quad \tau_m - \zeta_m \sin \chi = S_m \quad (y = \mu_0),$$

для которых требуется найти  $2\pi/k$ -периодическое по  $x$  решение, удовлетворяющее дополнительному условию

$$(1.10) \quad \int_0^{2\pi/k} \left( \frac{1}{2} \mu_0^2 \sin \chi \zeta_m + \int_0^{\mu_0} u_m dy + Q_m |_{y=\mu_0} \right) dx = 0,$$

вытекающему из условия для расхода (1.6) и служащему, как видно из дальнейшего, для определения средней толщины пленки. Здесь  $F_m, G_m, L_m, S_m, Q_m$  — известные неоднородности, зависящие от величин с индексом, меньшим номера  $m$ . В частности,

$$F_1 = G_1 = K_1 = L_1 = S_1 = Q_1 = 0, \quad F_2 = u_1 v_{1x} - v_1 u_{1x},$$

$$G_2 = u_1 u_{1x} - v_1 v_{1x} + v_1 \tau_1 - c_1 u_{1x},$$

$$K_2 = (\zeta_1 u_1)_x - c_1 \zeta_{1x}, \quad L_2 = -\zeta_1 D\sigma_1,$$

$$S_2 = 4\zeta_{1x} u_{1x} - \zeta_1 D\tau_1, \quad Q_2 = \zeta_1 u_1,$$

$$F_3 = u_1 v_{2x} + u_2 v_{1x} - v_1 u_{2x} - v_2 u_{1x} - c_2 v_{1x} - c_1 v_{2x} + \delta\mu_2 \sin \chi y v_{1x},$$

$$G_3 = (u_1 u_2 - v_1 v_2)_x + v_1 \tau_2 + v_2 \tau_1 - c_2 u_{1x} - c_1 u_{2x} + \delta\mu_2 \sin \chi (y u_{1x} + v_1),$$

$$K_3 = \frac{\partial}{\partial x} \left[ \delta\mu_2 (u_1 + \mu_0 \sin \chi \zeta_1) + \zeta_1 u_2 + \zeta_2 u_1 + \frac{1}{2} \zeta_1^2 D u_1 - \right.$$

$$\left. - \frac{1}{6} \sin \chi \zeta_1^3 - c_2 \zeta_1 - c_1 \zeta_2 \right],$$

$$L_3 = 4\mu_{1x} \zeta_{1x}^2 - \frac{3}{2} \gamma \zeta_{1xx} \zeta_1^2 - \zeta_2 D\sigma_1 - \zeta_1 D\sigma_2 - \delta\mu_2 D\sigma_1 - \frac{1}{2} \zeta_1^2 D^2 \sigma_1,$$

$$S_3 = 4(u_{1x}\zeta_{2x} + u_{2x}\zeta_{1x} + \zeta_1\zeta_{1x}Du_{1x}) - \zeta_2 D\tau_1 - \zeta_1 D\tau_2,$$

$$Q_3 = \zeta_2 u_1 + \zeta_1 u_2 + \frac{1}{2} \zeta_1^2 Du_1 - \frac{1}{6} \zeta_1^3 \sin \chi.$$

При  $m = 1$  получаем линейную однородную задачу для вычисления собственного вектора и критических значений параметров  $\text{Re } c_0$  и  $c_0$ . Ее решение разыскиваем в форме

$$\begin{pmatrix} u_1 \\ v_1 \\ \sigma_1 \\ \tau_1 \\ \zeta_1 \end{pmatrix} = \beta \left[ e^{ikx} \begin{pmatrix} u_{1,1}(y) \\ v_{1,1}(y) \\ \sigma_{1,1}(y) \\ \tau_{1,1}(y) \\ \zeta_{1,1} \end{pmatrix} + e^{-ikx} \begin{pmatrix} \bar{u}_{1,1}(y) \\ \bar{v}_{1,1}(y) \\ \bar{\sigma}_{1,1}(y) \\ \bar{\tau}_{1,1}(y) \\ \bar{\zeta}_{1,1} \end{pmatrix} \right],$$

где  $\beta$  — постоянная, подлежащая определению, которую, не теряя в общности, можно считать положительной (в противном случае следовало бы осуществить сдвиг начала отсчета  $x \rightarrow x + \pi/k$ ). Черта означает комплексное сопряжение. В качестве нормировки удобно выбрать условие  $\zeta_{1,1} = 1$ . При таком выборе  $\zeta_1 = 2\beta \cos kx$  и, следовательно, при малых  $\varepsilon$  величину  $2\beta\varepsilon$  можно интерпретировать как амплитуду волн на свободной поверхности жидкости. После отделения переменной  $x$  приходим к обыкновенным дифференциальным уравнениям

$$\begin{aligned} Du_{1,1} &= \tau_{1,1} - ikv_{1,1}, & Dv_{1,1} &= -iku_{1,1}, \\ (1.11) \quad D\sigma_{1,1} &= ik[(U - c_0)v_{1,1} - \tau_{1,1}], \\ D\tau_{1,1} &= ik[(U - c_0)u_{1,1} - \sigma_{1,1}] + 4k^2u_{1,1} + DUv_{1,1} \end{aligned}$$

с граничными условиями

$$(1.12) \quad u_{1,1} = v_{1,1} = 0 \quad (y = 0);$$

$$(1.13) \quad \sigma_{1,1} = -\cos \chi - \gamma k^2, \quad \tau_{1,1} = \sin \chi \quad (y = \mu_0);$$

$$(1.14) \quad v_{1,1} = ikV \quad (y = \mu_0).$$

Для построения сопряженной задачи умножим при  $m = 1$  первое уравнение системы (1.9) на функцию  $\bar{\Lambda}(x, y)$ , второе — на  $\bar{\Theta}(x, y)$ , третье — на  $\bar{\Phi}(x, y)$ , четвертое — на  $\bar{\Psi}(x, y)$  и произведем интегрирование по прямоугольнику  $\{0 \leq x \leq 2\pi/k, 0 \leq y \leq \mu_0\}$ , пользуясь периодичностью по  $x$  (период  $2\pi/k$ ) и условиями при  $y = 0, \mu_0$  для величин  $u_1, v_1, \sigma_1$  и  $\tau_1$ . Граничные условия для введенных в рассмотрение функций найдем, требуя обращения в нуль внеинтегральных членов, возникающих при интегрировании по частям. В результате придем к сопряженной задаче

$$\begin{aligned} D\Lambda &= 4\Psi_{xx} + (U - c_0)\Psi_x - \Theta_x, & D\Theta &= (U - c_0)\Phi_x - DU \cdot \Psi - \Lambda_x, \\ D\Phi &= -\Psi_x, & D\Psi &= -\Lambda - \Phi_x, & \Phi = \Psi = 0 & (y = 0), & \Lambda = 0 & (y = \mu_0), \\ \sin \chi \cdot \Psi - V\Theta_x + \gamma\Phi_{xx} - \cos \chi \cdot \Phi &= 0 & (y = \mu_0), \end{aligned}$$

которая после отделения переменной  $x$

$$\{\Lambda, \Theta, \Phi, \Psi\} = e^{ikx} \{\bar{\lambda}(y), \bar{\theta}(y), \bar{\varphi}(y), \bar{\psi}(y)\}$$

и введения нормировки  $\theta = 1$  при  $y = \mu_0$  приводится к обыкновенным дифференциальным уравнениям

$$(1.15) \quad \begin{aligned} D\lambda &= ik[\theta - (U - c_0)\psi] - 4k^2\psi, \\ D\theta &= ik[\lambda - (U - c_0)\varphi] - DU\psi, \quad D\varphi = ik\psi, \quad D\psi = ik\varphi - \lambda \end{aligned}$$

с граничными условиями

$$(1.16) \quad \varphi = \psi = 0 \quad (y = 0), \quad \theta = 1 \quad (y = \mu_0);$$

$$(1.17) \quad (\cos \chi + \gamma k^2)\varphi - \sin \chi \psi = ikV \quad (y = \mu_0);$$

$$(1.18) \quad \lambda = 0 \quad (y = \mu_0).$$

Условие разрешимости неоднородных задач (1.9), имеющее вид ( $m = 2, 3, 4, \dots$ )

$$(1.19) \quad \int_0^{\mu_0} \int_0^{2\pi/k} (F_m\varphi + G_m\psi) e^{-ikx} dx dy = \int_0^{2\pi/k} (K_m\theta + L_m\varphi + S_m\psi)|_{y=\mu_0} e^{-ikx} dx,$$

позволяет при  $m = 2$  заключить, что  $c_1 = 0$ , если величина

$$I_1 = \theta(\mu_0) - \int_0^{\mu_0} (v_{1,1}\varphi + u_{1,1}\psi) dy$$

отлична от нуля. Последнее неравенство проверялось численно и в рассмотренных случаях оказалось выполненным. Решение задачи (1.9), (1.10) при  $m = 2$  дается формулами

$$\begin{aligned} u_2 &= \beta^2 [y \zeta_{2,0} \sin \chi + u_{2,0}(y) + u_{2,2}(y)e^{2ikx} + \bar{u}_{2,2}(y)e^{-2ikx}], \\ v_2 &= \beta^2 [v_{2,2}(y)e^{2ikx} + \bar{v}_{2,2}(y)e^{-2ikx}], \\ \sigma_2 &= \beta^2 [-\zeta_{2,0} \cos \chi + \sigma_{2,0}(y) + \sigma_{2,2}(y)e^{2ikx} + \bar{\sigma}_{2,2}(y)e^{-2ikx}], \\ \tau_2 &= \beta^2 [\zeta_{2,0} \sin \chi + \tau_{2,0}(y) + \tau_{2,2}(y)e^{2ikx} + \bar{\tau}_{2,2}(y)e^{-2ikx}], \\ \zeta_2 &= \beta^2 [\zeta_{2,0} + \zeta_{2,2}e^{2ikx} + \bar{\zeta}_{2,2}e^{-2ikx}], \end{aligned}$$

причем постоянная  $\zeta_{2,0}$ , введенная выше, однозначно определяется при помощи условия (1.10) и оказывается равной

$$\zeta_{2,0} = -\frac{1}{\mu_0^2 \sin \chi} \left[ \int_0^{\mu_0} u_{2,0}(y) dy + 2\text{Real } u_{1,1}(\mu_0) \right].$$

Остальные величины находим, решая краевые задачи

$$(1.20) \quad \begin{aligned} Du_{2,0} &= \tau_{2,0}, \quad u_{2,0} = 0 \quad (y = 0), \\ D\sigma_{2,0} &= 4k \text{Im} (u_{1,1}\bar{v}_{1,1}), \quad D\tau_{2,0} = 2 \text{Real} (v_{1,1}\bar{\tau}_{1,1}), \\ \sigma_{2,0} &= 2k^2V^2 \quad (y = \mu_0), \quad \tau_{2,0} = 2kV \text{Im} u_{1,1} \quad (y = \mu_0); \end{aligned}$$

$$(1.21) \quad \begin{aligned} Du_{2,2} &= \tau_{2,2} - 2ikv_{2,2}, \quad Dv_{2,2} = -2iku_{2,2}, \\ D\sigma_{2,2} &= 2ik[(U - c_0)v_{2,2} - \tau_{2,2}], \quad D\zeta_{2,2} = 0, \\ D\tau_{2,2} &= 2ik[(U - c_0)u_{2,2} - \sigma_{2,2}] + 16k^2u_{2,2} + DUv_{2,2} + \end{aligned}$$

$$\begin{aligned}
& + v_{1,1}\tau_{1,1} + ik(u_{1,1}^2 - v_{1,1}^2), \\
u_{2,2} = v_{2,2} = 0 \quad (y = 0), \quad v_{2,2} - 2ikV\zeta_{2,2} = 2iku_{1,1} \quad (y = \mu_0), \\
\sigma_{2,2} + (\cos \chi + 4\gamma k^2)\zeta_{2,2} = k^2V^2 + ik \sin \chi \quad (y = \mu_0), \\
\tau_{2,2} - \zeta_{2,2} \sin \chi = -(8k^2 + ikV)u_{1,1} - ik(\cos \chi + \gamma k^2) \quad (y = \mu_0).
\end{aligned}$$

Полагая затем в условиях разрешимости (1.19)  $m = 3$ , приходим к комплексному уравнению для определения двух вещественных постоянных  $\beta$  и  $c_2$

$$ikc_2I_1 + \beta^2I_2 = \delta\mu_2I_3,$$

решая которое, получаем

$$(1.22) \quad \beta = \sqrt{\frac{\delta\mu_2 \operatorname{Re}(I_3\bar{I}_1)}{\operatorname{Re}(I_1\bar{I}_2)}}, \quad c_2 = \frac{\delta\mu_2 \operatorname{Im}(I_2\bar{I}_2)}{k \operatorname{Re}(I_1\bar{I}_2)}.$$

При этом знак  $\delta$  выбирается таким образом, чтобы подкоренное выражение было неотрицательным; коэффициенты  $I_2$  и  $I_3$  вычисляются по следующим формулам:

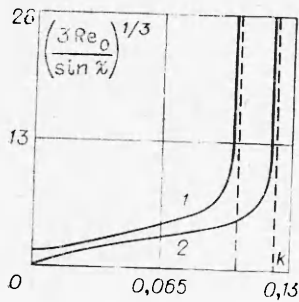
$$\begin{aligned}
I_2 &= I_4 - \zeta_{2,0}I_3, \quad I_3 = -\sin \chi \int_0^{\mu_0} [iky(v_{1,1}\varphi + u_{1,1}\psi) + v_{1,1}\psi] dy + \\
&+ [ik(u_{1,1} - \mu_0 \sin \chi)\theta - \varphi D\sigma_{1,1} - \psi D\tau_{1,1}]_{y=\mu_0}, \\
I_4 &= \int_0^{\mu_0} (ik\varphi z_1 + \psi z_2) dy - (ik\theta z_3 + \varphi z_4 + \psi z_5)_{y=\mu_0}, \\
z_1 &= v_{1,1}u_{2,0} + 3(\bar{u}_{1,1}v_{2,2} - u_{2,2}\bar{v}_{1,1}), \\
z_2 &= v_{1,1}\tau_{2,0} + \bar{v}_{1,1}\tau_{2,2} + v_{2,2}\bar{\tau}_{1,1} + ik(u_{1,1}u_{2,0} + \bar{u}_{1,1}u_{2,2} - \bar{v}_{1,1}v_{2,2}), \\
z_3 &= u_{2,0} + u_{2,2} + \zeta_{2,2}\bar{u}_{1,1} + Du_{1,1} + 0,5(D\bar{u}_{1,1} - \sin \chi), \\
z_4 &= 1,5\gamma k^4 + 4ik^3(\bar{u}_{1,1} + 2u_{1,1}) - \zeta_{2,2}D\bar{\sigma}_{1,1} - \\
&- D\bar{\sigma}_{2,0} - D\sigma_{2,2} - D^2\sigma_{1,1} - 0,5D^2\bar{\sigma}_{1,1}, \\
z_5 &= 8k^2(\zeta_{2,2}\bar{u}_{1,1} + u_{2,2} + 0,5D\bar{u}_{1,1}) - \zeta_{2,2}D\bar{\tau}_{1,1} - \\
&- D\tau_{2,0} - D\tau_{2,2} - D^2\tau_{1,1} - 0,5D^2\bar{\tau}_{1,1}.
\end{aligned}$$

Как видно из (1.22), значения констант  $\beta$  и  $c_2$  определены и  $\beta$  отлично от нуля, если выполнены условия

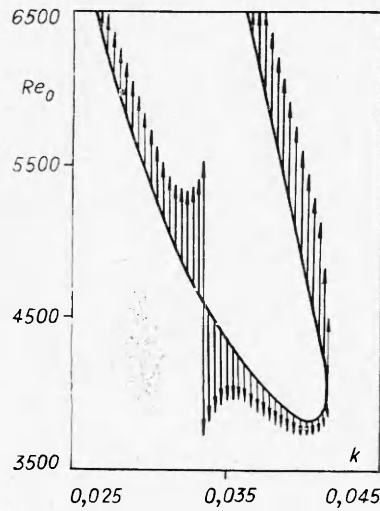
$$(1.23) \quad \operatorname{Re}(I_3\bar{I}_1) \neq 0, \quad \operatorname{Re}(I_1\bar{I}_2) \neq 0,$$

из которых вытекает [22, 23] сходимость рядов (1.8) и единственность (с точностью до сдвига  $x \rightarrow x + \text{const}$ ) при малых  $\varepsilon$  автоколебательного режима (1.8), ответвляющегося от плоскопараллельного течения (1.7) и существующего в закритической области  $\operatorname{Re} > \operatorname{Re}_0$  при  $\delta = +1$  или в докритической  $\operatorname{Re} < \operatorname{Re}_0$  в случае  $\delta = -1$ . Автоколебания имеют вид нелинейных волн, бегущих вследствие положительности скорости  $c_0$  вниз по потоку.

Описанным методом проведено при помощи ЭВМ «ODRA-1204» две серии расчетов вторичных волновых течений вблизи порога устойчивости для фиксированных значений параметров  $\chi$ ,  $\gamma$  и различных волновых



Фиг. 1



Фиг. 2

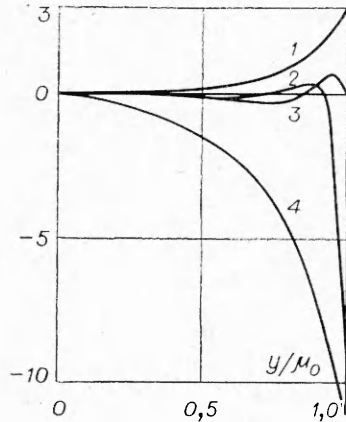
чисел: 1)  $\chi = 45^\circ$ ,  $\gamma = 3387$ ; 2)  $\chi = 90^\circ$ ,  $\gamma = 2903$ . Постоянная  $\gamma$  для первой серии вычислений подсчитана для воды при  $20^\circ\text{C}$  ( $\rho = 0,9982 \text{ г/см}^3$ ,  $\nu = 1,004 \cdot 10^{-2} \text{ см}^2/\text{с}$ ,  $T = 72,75 \text{ дин/см}$ ); значения  $\chi$  и  $\gamma$  второй серии соответствуют условиям эксперимента [2] (вода  $15^\circ\text{C}$ ,  $\rho = 1 \text{ г/см}^3$ ,  $\nu = 1,14 \cdot 10^{-2} \text{ см}^2/\text{с}$ ,  $T = 74 \text{ дин/см}$ ). При этом исследован характер ветвления решений уравнений гидродинамики как для возмущений типа поверхностных волн [9], так и для волн сдвига. Предварительно путем численного интегрирования уравнений (1.11) найдены с высокой точностью критические значения фазовой скорости  $c_0$  и числа Рейнольдса  $Re_0$ ; при больших числах  $Re_0$  из-за быстрого роста и осцилляции решений дифференциальных уравнений применялся метод дифференциальной прогонки [25]. Полученные результаты для случая поверхностных волн изображены на фиг. 1. Цифры 1, 2 у кривых указывают на то, что график построен для набора параметров 1 и 2. Граница устойчивости, соответствующая возникновению волн сдвига Толмина — Шлихтинга, достигается при значительно больших числах Рейнольдса. Нейтральная кривая, имеющая в этом случае форму языка, представлена на фиг. 2 ( $\chi = 45^\circ$ ,  $\gamma = 3387$ ).

Отметим существование вертикальной асимптоты  $k = k_*$  ( $k_* \approx 0,102$  в случае 1 и  $k_* \approx 0,121$  в случае 2) на графике зависимости  $Re_0(k)$  для моды, соответствующей поверхностным волнам; последние существуют лишь при  $k < k_*$  и экспоненциально затухают при  $k \geq k_*$  вследствие стабилизирующего действия поверхностного натяжения. Критические числа Рейнольдса  $Re_0(k)$  при  $k \rightarrow k_*$  неограниченно возрастают, а фазовая скорость волн стремится к скорости невозмущенного параболического течения на свободной границе.

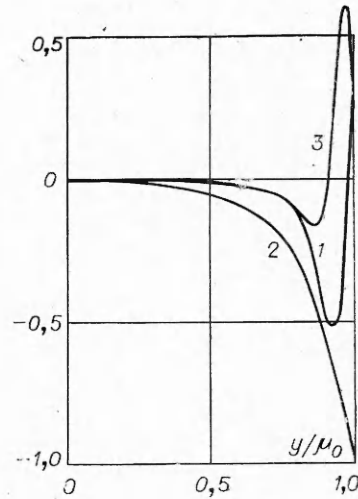
Заметим, что рассчитанные нейтральные кривые отличаются от аналогичных кривых работы [9], где выбраны иные масштабы длины, времени и определяющие параметры: вычисления в [9] проводились для фиксированных значений параметра  $W = \gamma\mu_0$  и использовалось безразмерное волновое число  $\alpha = k\mu_0$ , основанное на толщине слоя.

После нахождения собственных значений проводилось последовательное решение краевых задач (1.11) — (1.13), (1.15) — (1.17), (1.20), (1.21) при помощи комплексного варианта метода ортогонализации [26] на основе алгол-программы, разработанной в [27, 28], подсчитывались функционалы  $\zeta_{2,0}$ ,  $I_1$ ,  $I_2$ ,  $I_3$  и находились коэффициенты  $\delta$ ,  $\beta$  и  $c_2$ . При этом вычисление интегралов, входящих в функционалы, сводилось к ре-





Фиг. 3



Фиг. 4

пению задачи Коши с нулевым начальным условием при  $y = 0$  и осуществлялось одновременно с численным интегрированием системы дифференциальных уравнений по методу Рунге — Кутты. «Лишние» граничные условия (1.14), (1.18) при решении краевых задач не использовались; точность удовлетворения отброшенных граничных условий определялась точностью задания собственных значений  $Re_0$  и  $c_0$ : при идеально точных  $Re_0$ ,  $c_0$  и идеально точном интегрировании условия (1.14), (1.18) должны автоматически удовлетворяться абсолютно точно. Это обстоятельство использовалось для контроля.

Некоторые из полученных численных результатов приведены в табл. 1. Было найдено, что в случае поверхностных волн для всех волновых чисел из диапазона  $0 < k < k_*$  вторичные режимы существуют лишь в закритической области  $Re > Re_0$ . Наиболее четко характерные особенности вторичного течения, имеющего вид поверхностных волн, проявляются при больших числах Рейнольдса. Графики некоторых компонентов решения приведены для этого случая на фиг. 3, 4 ( $\chi = 45^\circ$ ,  $\gamma = 3387$ ,  $k = 0,1019$ ,  $Re_0 = 2900$ ,  $c_0 = 200,5$ ,  $\beta = 8,40 \cdot 10^{-4}$ ,  $c_2 = 4,33 \times 10^{-2}$ ,  $\zeta_{2,0} = -1,41 \cdot 10^{-2}$ ,  $\zeta_{2,2} = -9,40 \cdot 10^{-2} - 3,91 \cdot 10^{-3}i$ ), на фиг. 3 кривая 1 —  $Real u_{1,1}$ , 2 —  $100 Im u_{1,1}$ , 3 —  $100 Real v_{1,1}$ , 4 —  $10 Im v_{1,1}$ ; на фиг. 4 кривая 1 —  $5u_{2,0}$ , 2 —  $Real u_{2,2}$ , 3 —  $10 Im u_{2,2}$ .

Вычисления показали, что характер ветвления стационарного течения (1.7) при образовании волн сдвига определяется величиной волнового числа  $k$ . Найденные значения константы  $\beta$  изображены на фиг. 2 в виде стрелок ( $\chi = 45^\circ$ ,  $\gamma = 3387$ ), при этом стрелка направлена вверх, если вторичный волновой режим ответвляется при  $Re > Re_0$  и вниз в противоположном случае. Длина стрелки характеризует численное значение константы  $\beta$ , обращаемой соответственно в бесконечность (нуль) на левом (правом) конце интервала волновых чисел, для которых ветвление является докритическим (см. фиг. 2). Обращение  $\beta$  в нуль в крайней правой точке  $k = k_{max}$  вызвано слиянием верхней и нижней ветви нейтральной кривой ( $\beta \sim const \sqrt{k_{max} - k}$  при  $k \rightarrow k_{max} - 0$ ); при подходе к левому концу  $k = k_0$  интервала волновых чисел знаменатель  $Real(I_1 \bar{I}_2)$  стремится к нулю, так что величина  $\beta$  неограниченно возрастает:  $\beta \sim$



Таблица 1

| $h$                   | $Re_0$ | $c_0$ | $\beta$                | $c_2$                  | $\xi_{2,0}$             | $\delta$ | Примечание   |
|-----------------------|--------|-------|------------------------|------------------------|-------------------------|----------|--|
| 0,03                  | 4,525  | 5,037 | 0,1980                 | 0,5063                 | -0,7385                 | +1       | Поверхностные<br>волны<br>$\chi=45^\circ, \gamma=3387$ |
| 0,06                  | 18,41  | 12,23 | 0,2351                 | 0,1524                 | -0,3892                 | +1       |  |
| 0,08                  | 40,35  | 19,28 | 0,2224                 | $0,9548 \cdot 10^{-1}$ | -0,1839                 | +1       |  |
| 0,10                  | 275,0  | 50,82 | $0,6609 \cdot 10^{-1}$ | $0,8990 \cdot 10^{-1}$ | $-0,5609 \cdot 10^{-1}$ | +1       |  |
| $2,802 \cdot 10^{-2}$ | 6000   | 67,33 | $0,250 \cdot 10^{-1}$  | $0,223 \cdot 10^{-1}$  | 0,694                   | +1       | Волны сдвига<br>$\chi=45^\circ, \gamma=3387$           |
| $3,260 \cdot 10^{-2}$ | 4800   | 62,64 | $0,519 \cdot 10^{-1}$  | $0,775 \cdot 10^{-1}$  | 0,741                   | +1       |  |
| $3,693 \cdot 10^{-2}$ | 4100   | 59,98 | $0,217 \cdot 10^{-1}$  | $0,366 \cdot 10^{-2}$  | 0,810                   | -1       |  |
| $4,044 \cdot 10^{-2}$ | 3830*  | 59,84 | $0,898 \cdot 10^{-2}$  | $-0,749 \cdot 10^{-2}$ | 0,924                   | -1       |  |
| $4,014 \cdot 10^{-2}$ | 4792   | 68,83 | $0,532 \cdot 10^{-2}$  | $0,104 \cdot 10^{-1}$  | $0,128 \cdot 10^1$      | +1       |  |
| $3,739 \cdot 10^{-2}$ | 5992   | 76,87 | $0,557 \cdot 10^{-2}$  | $0,986 \cdot 10^{-2}$  | $0,150 \cdot 10^1$      | +1       |  |
| 0,036                 | 3,199  | 4,490 | 0,1594                 | 0,7312                 | -0,9318                 | +1       |  |
| 0,070                 | 14,23  | 11,59 | 0,2165                 | 0,1941                 | -0,4969                 | +1       |  |
| 0,115                 | 110,3  | 34,87 | 0,1183                 | 0,1168                 | $-0,9862 \cdot 10^{-1}$ | +1       |  |

Примечание. Звездочкой отмечено минимальное значение числа Рейнольдса на нейтральной кривой, соответствующей волнам сдвига.

$\sim \text{const} |k - k_0|^{-1/2}$  ( $k \rightarrow k_0$ ). В этих двух исключительных точках  $k = k_0$  и  $k = k_{\text{max}}$  условия (1.23) не выполняются и разложения (1.8) теряют силу.

**2. Волны конечной амплитуды.** Метод, использованный в п. 1 для расчета нелинейных волн малой амплитуды, вынуждает ограничиться некоторой окрестностью нейтральной кривой и оставляет открытым вопрос о применимости найденного решения, содержащего два члена разложения, при конкретных числовых значениях параметра  $\varepsilon$ . Предлагаемый ниже прямой численный метод расчета поверхностных волн сводит задачу к системе нелинейных алгебраических уравнений и оказывается пригодным до чисел Рейнольдса, в несколько раз больших критического.

Движение жидкости будем изучать в подвижной системе координат  $Oxy$ , перемещающейся вдоль наклонной плоскости со скоростью  $c$ , равной фазовой скорости волны. В этой системе отсчета волновое течение становится установившимся. Уравнения движения запишем в форме Громеко-Лемба

$$(2.1) \quad \begin{aligned} \partial U / \partial y &= V_x - \Omega, \quad \partial V / \partial y = -U_x, \\ \partial \Omega / \partial y &= \sin \chi + \Omega V - H_x, \\ \partial H / \partial y &= -\cos \chi - \Omega U + \Omega_x, \end{aligned}$$

выбрав в качестве зависимых переменных:  $U(x, y)$  — продольную составляющую скорости (относительно системы отсчета  $Oxy$ ),  $V(x, y)$  — поперечную составляющую вектора скорости,  $\Omega(x, y)$  — вихрь,  $H(x, y) = p - p_a + (U^2 + V^2)/2$  — полное давление, отсчитываемое от уровня  $p_a$ . Эти величины вместе с функцией  $\zeta(x)$ , описывающей форму свободной границы, периодичны по  $x$  с заданным периодом  $2\pi/k$  и удовлетворяют условиям

$$(2.2) \quad U = -c, \quad V = 0 \quad (y = 0), \quad \tau = 2V_x - \Omega;$$

$$(2.3) \quad \text{Re} \int_0^{\zeta} U dy - \frac{ck}{2\pi} \int_0^{2\pi/k} \zeta dx = 0;$$

$$(2.4) \quad (\zeta_x^2 - 1)\tau + 4\zeta_x U_x = 0 \quad (y = \zeta);$$

$$(2.5) \quad H - 0,5(U^2 + V^2) + 2U_x + \tau \zeta_x + \gamma \zeta_{xx} (1 + \zeta_x^2)^{-3/2} = 0 \quad (y = \zeta),$$

эквивалентным соотношениям (1.2) — (1.6).

Приведем задачу к системе нелинейных алгебраических уравнений. Для этого разложим функции  $U$ ,  $V$ ,  $\Omega$  и  $H$  в степенные ряды по поперечной координате  $y$

$$(2.6) \quad \{U, V, \Omega, H\} = \sum_{m=0}^M \{U_m(x), V_m(x), \Omega_m(x), H_m(x)\} y^m,$$

ограничиваясь конечным числом членов, а затем используем разложение в ряды Фурье

$$(2.7) \quad \{U_m(x), V_m(x), \Omega_m(x), H_m(x), \zeta(x)\} = \sum_{n=-N}^N \{U_{m,n}, V_{m,n}, \Omega_{m,n}, H_{m,n}, \eta_n\} e^{inhx},$$

отбрасывая все гармоники с номером  $|n| > N$  и полагая одновременно с этим  $\text{Im} \eta_n = 0$ . Последнее требование позволяет исключить произволь-

ные сдвиги начала отсчета на оси  $x$ . Отметим, что коэффициенты Фурье с отрицательным индексом  $-n$  получаются из коэффициентов с индексом  $n$  посредством операции комплексного сопряжения. Это гарантирует вещественность суммы в (2.7). В качестве неизвестных искомой нелинейной алгебраической системы выберем скорость волны  $c$  и числа  $\eta_n, \Omega_{0,n}, H_{0,n}$  ( $n = 0, 1, 2, \dots, N$ ), что с учетом вещественности  $\eta_0, \eta_1, \Omega_{0,0}, H_{0,0}$  дает  $6N + 3$  неизвестных в вещественной форме. Уравнения для их определения дают условия (2.3)–(2.5). В самом деле, уравнения движения (2.1) после подстановок (2.6), (2.7) сведутся к рекуррентной системе относительно числовых коэффициентов

$$(m + 1)U_{m+1,n} = iknV_{m,n} - \Omega_{m,n}, \quad (m + 1)V_{m+1,n} = -iknU_{m,n},$$

$$(2.8) \quad (m + 1)\Omega_{m+1,n} = \sin \chi \delta_{m,n} - iknH_{m,n} + \sum_{s=0}^m \langle \Omega_s(x) V_{m-s}(x) \rangle_n,$$

$$(m + 1)H_{m+1,n} = -\cos \chi \delta_{m,n} + ikn\Omega_{m,n} - \sum_{s=0}^m \langle \Omega_s(x) U_{m-s}(x) \rangle_n,$$

$$U_{0,n} = -c\delta_{0,n}, \quad V_{0,n} = 0 \quad (n = 0, 1, \dots, N; \quad m = 0, 1, \dots, M - 1),$$

позволяющей при назначенных  $c, \Omega_{0,n}, H_{0,n}$  ( $n = 0, 1, \dots, N$ ) последовательно вычислить все коэффициенты  $U_{m,n}, V_{m,n}, \Omega_{m,n}, H_{m,n}$  с индексом  $m > 0$ . Величина  $\delta_{m,n}$ , фигурирующая в (2.8), полагается равной единице, если  $m = n = 0$ , и равной нулю в противоположном случае; символ  $\langle \rangle_n$  означает коэффициент Фурье при гармонике  $\exp(inkx)$ , причем можно показать, что если функции  $a(x)$  и  $b(x)$  представляют собой отрезки ряда Фурье

$$a(x) = \sum_{n=-N_a}^{N_a} a_n e^{inkx}, \quad b(x) = \sum_{n=-N_b}^{N_b} b_n e^{inkx},$$

то имеет место формула

$$\langle a(x)b(x) \rangle_n = \begin{cases} \sum_{s=-\min(N_a, N_b-n)}^{\min(N_a, N_b+n)} a_s b_{n-s}, & |n| \leq N_a + N_b, \\ 0, & |n| > N_a + N_b, \end{cases}$$

позволяющая при помощи ЭВМ найти коэффициенты разложения в ряд Фурье величин  $U, V, U_x, V_x$  и т. п. на свободной границе  $y = \zeta(x)$  с использованием (2.6) и алгоритма Горнера вычисления значений полинома. Коэффициенты Фурье для кривизны  $C(x) = \zeta_{xx}(1 + \zeta_x^2)^{-3/2}$  можно вычислить, воспользовавшись формулами гармонического анализа периодической функции [29]

$$\langle C(x) \rangle_n = \frac{1}{2(N+1)} \sum_{s=0}^{2N+1} C(x_s) e^{-inhx_s}, \quad x_s = \frac{\pi s}{k(N+1)}, \quad |n| \leq N.$$

Подставляя затем найденные фурье-разложения в левую часть равенств (2.3) – (2.5), произведем необходимые умножения рядов Фурье, соберем коэффициенты при гармониках  $\exp(inkx)$  ( $n = 0, 1, 2, \dots, N$ ) и приравняем их в соответствии с видом правых частей нулю. В итоге это и даст в вещественной форме систему из  $6N + 3$  нелинейных уравнений относительно такого же количества неизвестных.

Таблица 2

| Re   | c    | $\mu - \eta_0$       | $\eta_1$ | $\eta_2$  | $\eta_3$  | $\eta_4$                                       | $\eta_5$  | Примечание     |
|------|------|----------------------|----------|---|---|--|---|----------------|
| 3,58 | 4,75 | $8,96 \cdot 10^{-3}$ | 0,1      | $-2,96 \cdot 10^{-3}$<br>$-8,05 \cdot 10^{-4}i$ | $-1,90 \cdot 10^{-4}$<br>$+5,56 \cdot 10^{-4}i$ | $3,76 \cdot 10^{-5}$<br>$-2,90 \cdot 10^{-5}i$ | $-4,16 \cdot 10^{-6}$<br>$+4,66 \cdot 10^{-7}i$ | Вода           |
| 4,61 | 5,39 | $3,27 \cdot 10^{-2}$ | 0,2      | $-4,15 \cdot 10^{-2}$<br>$-3,02 \cdot 10^{-2}i$ | $-1,25 \cdot 10^{-3}$<br>$+4,04 \cdot 10^{-3}i$ | $4,96 \cdot 10^{-4}$<br>$-4,14 \cdot 10^{-4}i$ | $-1,02 \cdot 10^{-4}$<br>$+1,65 \cdot 10^{-5}i$ |                |
| 6,26 | 6,20 | $6,60 \cdot 10^{-2}$ | 0,3      | $-2,61 \cdot 10^{-2}$<br>$-6,37 \cdot 10^{-2}i$ | $-3,29 \cdot 10^{-3}$<br>$+1,26 \cdot 10^{-2}i$ | $2,20 \cdot 10^{-3}$<br>$-2,04 \cdot 10^{-3}i$ | $-6,17 \cdot 10^{-4}$<br>$-7,84 \cdot 10^{-5}i$ | $k=0,036$      |
| 7,35 | 6,65 | $8,50 \cdot 10^{-2}$ | 0,35     | $-3,54 \cdot 10^{-2}$<br>$-8,41 \cdot 10^{-2}i$ | $-3,40 \cdot 10^{-3}$<br>$+1,87 \cdot 10^{-2}i$ | $4,25 \cdot 10^{-3}$<br>$-5,14 \cdot 10^{-3}i$ | $-1,45 \cdot 10^{-3}$<br>$-1,47 \cdot 10^{-3}i$ | $\gamma=2903$  |
| 2,20 | 3,40 | $1,04 \cdot 10^{-2}$ | 0,1      | $-2,77 \cdot 10^{-3}$<br>$-1,25 \cdot 10^{-2}i$ | $-6,65 \cdot 10^{-4}$<br>$+9,58 \cdot 10^{-4}i$ | $1,18 \cdot 10^{-4}$<br>$-3,26 \cdot 10^{-5}i$ | $-1,29 \cdot 10^{-5}$<br>$-5,16 \cdot 10^{-6}i$ | Спарт          |
| 3,30 | 4,19 | $3,65 \cdot 10^{-2}$ | 0,2      | $-1,01 \cdot 10^{-2}$<br>$-4,55 \cdot 10^{-2}i$ | $-4,24 \cdot 10^{-3}$<br>$+6,63 \cdot 10^{-3}i$ | $4,46 \cdot 10^{-3}$<br>$-4,62 \cdot 10^{-4}i$ | $-2,78 \cdot 10^{-4}$<br>$-1,08 \cdot 10^{-4}i$ |                |
| 5,07 | 5,13 | $7,12 \cdot 10^{-2}$ | 0,3      | $-2,27 \cdot 10^{-2}$<br>$-9,21 \cdot 10^{-2}i$ | $-6,51 \cdot 10^{-3}$<br>$+2,17 \cdot 10^{-2}i$ | $1,02 \cdot 10^{-2}$<br>$-4,86 \cdot 10^{-3}i$ | $1,13 \cdot 10^{-4}$<br>$-4,05 \cdot 10^{-5}i$  | $\gamma=530,5$ |

Фактические вычисления поверхностных волн были проведены при  $\chi = 90^\circ$  и различных числах Рейнольдса для значений  $\gamma$ , соответствующих опытам [2] с водой ( $\gamma = 2903$ ) и спиртом ( $\gamma = 530,5$ ,  $\rho = 0,79 \text{ г/см}^3$ ,  $\nu = 2,02 \times 10^{-2} \text{ см}^2/\text{с}$ ,  $T = 22,9 \text{ дин/см}$ ). При этом в окончательной серии расчетов было принято  $M = 10$ ,  $N = 5$ ; для решения системы 33 нелинейных алгебраических уравнений использовался метод Ньютона с аппроксимацией частных производных, входящих в якобиан, конечными разностями. Безразмерное волновое число задавалось на основе экспериментальных данных равным 0,036 для воды и 0,062 для спирта. Некоторые из полученных численных результатов приведены в табл. 2. Найдено, что средняя толщина пленки  $\eta_0$  при волновом стекании жидкости оказывается меньше толщины слоя для плоскопараллельного течения (1.7) при том же самом числе Рейнольдса (разность  $\mu - \eta_0$  положительна, см. табл. 2). Это обстоятельство отмечается и в ряде экспериментов [30].

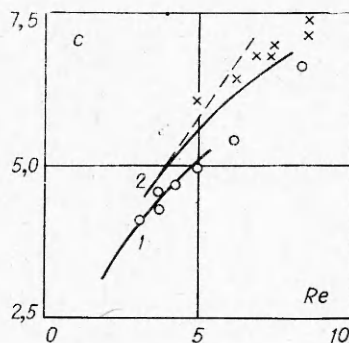
Рассчитанная зависимость фазовой скорости от числа Рейнольдса для спирта (сплошная линия 1) и для воды (сплошная линия 2) представлена вместе с экспериментальными данными работы [2] на фиг. 5 (кружки — опыты со спиртом, крестики — с водой), штриховой линией нанесен график зависимостей  $c = c_0 + c_2(Re - Re_0)$ , построенный для случая  $\gamma = 2903$ ,  $k = 0,036$  на основе вычислений п. 1. Характерный профиль нелинейной волны на свободной поверхности изображен на фиг. 6 ( $\gamma = 530,5$ ,  $k = 0,062$ ,  $M = 10$ ,  $N = 5$ ,  $Re = 5,07$ ,  $c = 5,13$ ), направление течения жидкости указано стрелкой.

Автор благодарен В. И. Юдовичу, Б. Г. Покусаеву, И. Р. Шрейберу и участникам семинара, руководимого Г. И. Петровым, за внимание к работе и полезное обсуждение.

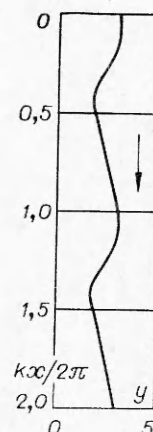
Поступила 26 V 1977

#### ЛИТЕРАТУРА

1. Капица П. Л. Волновое течение тонких слоев вязкой жидкости. — ЖЭТФ, 1948, т. 18, вып. 1, с. 3.
2. Капица П. Л., Капица С. П. Волновое течение тонких слоев вязкой жидкости. — ЖЭТФ, 1949, т. 19, вып. 2, с. 105—120.
3. Пухначев В. В. К теории катящихся волн. — ПМТФ, 1975, № 5, с. 47—58.
4. Кутатгладзе С. С., Стырикович М. А. Гидродинамика газожидкостных систем. М., «Энергия», 1976.
5. Benjamin T. B. Wave formation in laminar flow down an inclined plane. — «J. Fluid Mech.», 1957, vol. 2, N 6, p. 554.
6. Иванюков Ю. П. Об устойчивости плоскопараллельного течения вязкой жидкости над наклонным дном. — ПММ, 1960, т. 24, № 2, с. 280—281.
7. Yih C. S. Stability of liquid flow down an inclined plane. — «Phys. Fluids», 1963, vol. 6, p. 321—334. Рус. пер. — Сб. Механика, 1963, № 5 (81), с. 77—100.



Фиг. 5



Фиг. 6

8. Lin S. P. Instability of a liquid film flowing down an inclined plane.—«Phys. Fluids», 1967, vol. 10, N 2, p. 308—313.
9. Гончаренко Б. Н., Уринцев А. Л. Об устойчивости течения вязкой жидкости по наклонной плоскости.— ПМТФ, 1975, № 2, с. 172—176.
10. Шкадов В. Я. Волновые режимы течения тонких жидких пленок под действием силы тяжести.—«Изв. АН СССР. МЖГ», 1967, № 1, с. 43—51.
11. Шкадов В. Я. К теории волновых течений тонкой пленки жидкости.— «Изв. АН СССР. МЖГ», 1968, № 2, с. 20—25.
12. Есманль М. Набиль, Шкадов В. Я. К нелинейной теории волн в слое вязкой жидкости.— «Изв. АН СССР. МЖГ», 1971, № 4, с. 54—59.
13. Шкадов В. Я. Некоторые методы и задачи теории гидродинамической устойчивости.—«Научн. труды Ин-та механики МГУ», 1973, вып. 25.
14. Маурин Л. Н. Развитые установившиеся волновые движения жидкой пленки, стекающей по вертикальной плоскости.— «Изв. АН СССР. МЖГ», 1975, № 2, с. 24—30.
15. Накоряков В. Е., Шрейбер И. Р. Волны на поверхности тонкого слоя вязкой жидкости.— ПМТФ, 1973, № 2, с. 109—113.
16. Рабинович М. И., Фабрикант А. Л. Нелинейные волны в неравновесных средах.— «Радиофизика», 1976, т. XIX, № 5—6, с. 721—766.
17. Непомнящий А. А. Волновое движение в слое вязкой жидкости, стекающей по наклонной плоскости.— В кн.: Гидродинамика. Вып. VIII. Пермь, 1976, с. 114—126.
18. Непомнящий А. А. Устойчивость волновых режимов в пленке, стекающей по наклонной плоскости.— «Изв. АН СССР. МЖГ», 1974, № 3, с. 28—33.
19. Lin S. P. Finite-amplitude stability of a parallel flow with a free surface.— «J. Fluid Mech.», 1969, vol. 36, N 1, p. 113—126.
20. Lin S. P. Roles of surface tension and Reynolds stresses on the finite amplitude stability of a parallel flow with a free surface.— «J. Fluid Mech.», 1970, vol. 40, N 2, p. 307—314.
21. Reynolds W. C., Potter M. C. Finite-amplitude instability of parallel shear flows.— «J. Fluid Mech.», 1967, vol. 27, N 3, p. 465—492. Рус. пер.— Сб. Механика, 1968, № 2 (108), с. 71—98.
22. Юдович В. И. Возникновение автоколебаний в жидкости.— ПММ, 1971, т. 35, № 4, с. 638—655.
23. Юдович В. И. Исследование автоколебаний сплошной среды, возникающих при потере устойчивости стационарного режима.— ПММ, 1972, т. 36, № 3, с. 450—459.
24. Андрейчиков И. П., Юдович В. И. Об автоколебательных режимах, ответвляющихся от течения Пуазейля в плоском канале.— «Докл. АН СССР», 1972, т. 202, № 4, с. 791—794.
25. Сапожников В. А. Решение задачи на собственные значения для обыкновенных дифференциальных уравнений методом прогонки.— В кн.: Труды II Всесоюзного семинара по численным методам механики вязкой жидкости. Новосибирск, «Наука», 1969, с. 212—220.
26. Годунов С. К. О численном решении краевых задач для систем линейных обыкновенных дифференциальных уравнений.— «Усп. мат. наук», 1961, т. XVI, вып. 3 (99), с. 171—174.
27. Уринцев А. Л. Возникновение автоколебаний в пограничном слое.— В кн.: Пристенное турбулентное течение. Труды XVIII Сибирского теплофизического семинара. I. Новосибирск, изд. Ин-та теплофизики СО АН СССР, 1975, с. 165—172.
28. Уринцев А. Л. Расчет автоколебаний, возникающих при потере устойчивости спирального течения вязкой жидкости в кольцевой трубе.— ПМТФ, 1976, № 3, с. 57—63.
29. Крылов В. И. Приближенное вычисление интегралов. М., «Наука», 1967, с. 319.
30. Накоряков В. Е., Покусаев Б. Г., Троян Е. Н., Алексеев С. В. Течение тонких пленок жидкости.— В кн.: Волновые процессы в двухфазных системах. Новосибирск, изд. Ин-та теплофизики СО АН СССР, 1975.